

669.141.241.2: 620.184: 620.192.43: 621.744.3:  
621.746.55: 669.14-412

## (165) キルド鋼塊のマクロ組織と偏析におよぼす鋳型形状などの影響

新日鐵八幡

○平居正純 森久

新日鐵君津

金丸和雄

日本鎧鍛鋼

一戸正良

### 1. 緒 言

前報につづき、実用的に重要な鋳型形状などの影響について報告する。

### 2. 試験方法

S45Cを60tもしくは20t平炉で溶製し、表1に示す5種類の鋳型に原則として下注し、押湯率10%で発熱剤保温を行った。合計35本の鋼塊を常法により縦断調査した。

### 3. 試験結果

高温、低温注入鋼塊の特徴を図1に示す。鋼塊(および鋼片)の性状を示す各特性値について、重回帰式を求めた。

$$1) \text{ 逆V偏析帯 } X_1 = -0.32A + 1.7D - 0.036\Delta T + 1.4$$

$X_1 > 2$ の場合へ偏析帯が強く発生し、鋼片にはげしいインゴットパターンが発生する。

$$2) \text{ 逆V偏析線} \rightarrow \text{ピット}, \text{ UST 不良, Sulphide 系地疵}$$

$$X_2: \text{発生本数}, X_3: \text{肩からの深さ \%}, X_4: \text{肌からの距離}$$

$$X_2 = 2.7A + 86D + 7.8H + 0.27\Delta T - 7.8V - 57$$

$$X_3 = 9A + 210D + 0.8\Delta T - 16V + 1400[S] - 129$$

$$X_4 = 8A - 0.41\Delta T - 14V + 159$$

$$3) \text{ 濃厚V偏析の肩からの発生深さ (\%)}: X_5 = 8A + 0.59\Delta T - 27V + 3200[S] + 1100[O] - 63$$

$$4) \text{ 全V偏析の肩からの発生深さ (\%)} \rightarrow \text{中心部多孔質}: X_6 = -40D + 10H + 88$$

$$5) \text{ Cの成分偏析 } (\times 10^3 \%), X_7: \text{正偏析}, X_8: \text{負偏析}, X_9: \text{全偏析}, X_{10}: \text{負偏析発生深さ (\%)}$$

$$X_7 = 0.21A + 21D - 11.5$$

$$X_8 = -0.40A - 0.019\Delta T + 4D + 2.8$$

$$X_9 = -0.24A + 25D - 9.8$$

$$X_{10} = -3A - 95D - 0.69\Delta T - 1800[S] + 174$$

$$6) \text{ 柱状晶長さ (mm)} \rightarrow \text{デンドライト組織}: X_{11} = 18A + 20H + 0.43\Delta T - 36V + 40$$

ここで、A:注入法(上注の場合A=1, 下注の場合A=0とする), D:鋼塊断面径(m), H:肩までの鋼塊高さ(m),  $\Delta T$ :注入過熱温度(°C), V:注入速度(mm/min), [S]:取鍋下S%, [O]:取鍋下O%とし, \*\*は偏相関係数が危険率1%で有意, \*は5%で有意を意味する。

上記の結果から、上注は下注に比べて注入温度が約10°C高いことに相当することがわかる。

つぎに鋼塊性状の各特性値間の相関を見るため、単相関係数を求め、その有意水準を調査したところ、各特性値間に大きな相関がみられた。たとえば、逆V偏析帯の発生した鋼塊では、柱状晶が短かく、逆V偏析線の発生が少なく、その肌からの発生深さは深くなり、また濃厚V偏析は浅く、負偏析が非常に大きくなることを示している。これらのこととは、鋼塊における全特性値の測定結果がなくても、一、二の特性値を測定すれば、他の特性値をかなり推定できることを意味する。

表1. 試験鋼塊の主要ディメンジョン

鋳型種類	A	B	C	D	E
鋼塊重量(kg)	2600	3400	5300	3750	5300
鋼塊高さ(mm)	1950	1950	1950	2500	2485
本体頭部径(mm)	500	560	695	530	620
本体底部径(mm)	397	457	600	397	490
テーパー(mm/m)	3.22	3.22	3.03	3.02	3.02
高径比(平均)	3.6	3.1	2.4	4.8	3.9

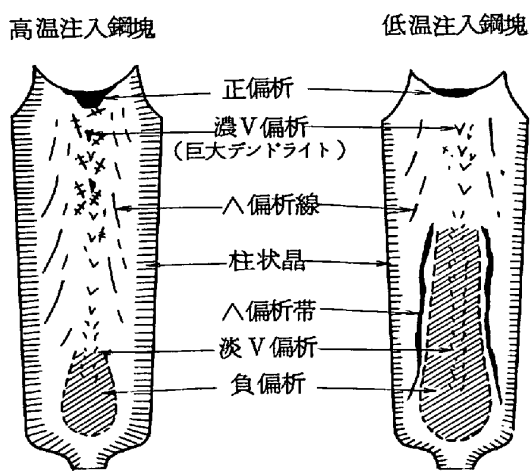


図1. キルド鋼塊のマクロ組織と偏析